



ژئوشیمی و سنگ‌شناسی سنگ‌های آتشفسانی کانسار مس ماهور، شمال‌غرب نهبندان (شرق ایران)

مرتضی اسفرم^{*}، حبیب بیبانگرد^۱، محمد بومری^۱، محمد حسین زرین‌کوب^۲، محمد مهران^۱، حید ابراهیمی^۳

۱- گروه زمین‌شناسی، دانشکده علوم، دانشگاه سیستان و بلوچستان

۲- گروه زمین‌شناسی، دانشکده علوم، دانشگاه بیرجند

۳- گروه زمین‌شناسی، دانشکده علوم، دانشگاه فردوسی مشهد

(دریافت مقاله: ۸۹/۱۱/۵، نسخه نهایی: ۹۰/۳/۱۰)

چکیده: منطقه‌ی مورد بررسی در استان خراسان جنوبی در ۱۳۰ کیلومتری شمال‌غربی نهبندان واقع شده است و بخشی از چهارگوش چاموک (دهسلم) است. از نظر سنگ‌شناسی، شامل داسیت، ریوداسیت، آندزیت، ریولیت، توف و لیتیک توف با سن ائوسن شناسایی شد. از نظر کانی‌شناسی سنگ‌های یاد شده دارای پلازیوکلاز، کوارتز، پیروکسن، آمفیبول، بیوتیت و فلدسپات قلیایی هستند. پلازیوکلازها دارای ساخت منطقه‌ای و آمفیبول‌ها دارای حاشیه‌ی سوخته اند که این پدیده نشانه دمای زیاد مagma‌ای سازنده‌ی آنها است. بر اساس رده‌بندی شیمیایی، سنگ‌های مورد بررسی از آندزیت، تراکی آندزیت، آندزیت بازالت، ریولیت، داسیت و ریوداسیت تشکیل شده‌اند. بر اساس نمودارهای سنگ‌شناسی، سری مagma‌ای سنگ‌های مورد بررسی دارای ماهیت آهکی-قلیایی پرپیتاسم است، نیز با استفاده از نمودارهای جداکننده‌ی محیط زمین ساختی، سنگ‌های آتشفسانی مورد نظر در نواحی فروزانشی قرار گرفته‌اند. بیهنجاری منفی عناصر P، Ti و Nb و K در این سنگ‌ها نشان دهنده‌ی تشابه سرنشی‌های شیمیایی این سنگ‌ها با مagma‌ای پرپیتاسم قوس‌های آتشفسانی است.

واژه‌های کلیدی: نهبندان؛ کانسار مس ماهور؛ آهکی-قلیایی؛ فرورانش؛ قوس آتشفسانی.

درون زون آتشفسانی ترشیری آن قرار دارد. فعالیت‌های magma‌ای لوت از ژوراسیک آغاز شده و در کرتاسه ادامه داشته و در ترشیری به اوج خود رسیده است، به طوریکه سنگ‌های آتشفسانی ترشیری، به ویژه ائوسن با ضخامت حدود ۲۰۰۰ متر، بیش از نیمی از بلوك لوت را می‌پوشانند [۳]. هدف از این پژوهش تعیین ژئوشیمی، سری magma‌ای و موقعیت زمین ساختی سنگ‌های آذرین میزبان کانسار مس ماهور است.

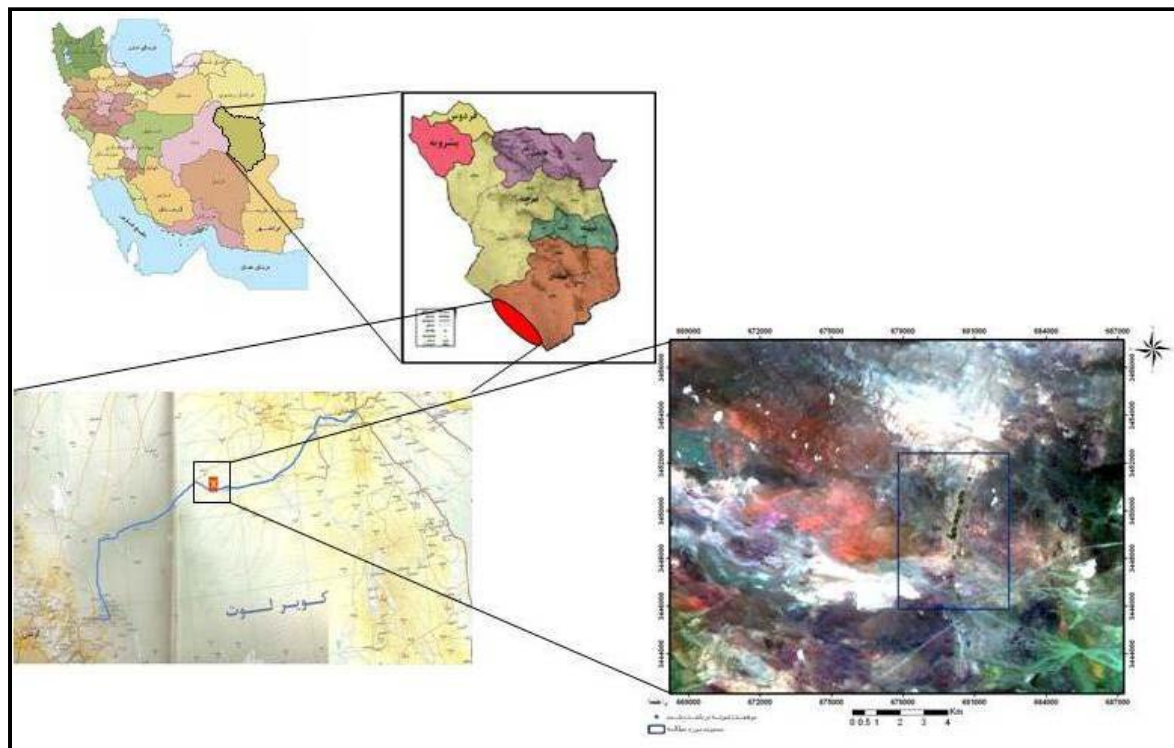
روش بررسی

پس از جمع‌آوری و بررسی اطلاعات، گزارش‌ها و نقشه‌های مربوط به منطقه، بررسی‌های صحرائی و آزمایشگاهی در غالب

مقدمه

دوران سنوزوئیک در ایران، دوران اوج فعالیت‌های magma‌ای به ویژه فعالیت‌های آتشفسانی بوده است که محصول این فعالیت‌ها سنگ‌های آتشفسانی و آذرآواری فراوان در مناطق مختلف ایران است [۱]. فعالیت آتشفسانی ائوسن، یکی از مهمترین پدیده‌های زمین‌شناسی ایران در زمان ائوسن است که آثار آن در اغلب مناطق ایران غیر از زاگرس چین‌خورده و کپه‌داغ، به چشم می‌خورد [۲]. منطقه‌ی مورد بررسی در استان خراسان جنوبی در ۱۳۰ کیلومتری شمال‌غربی نهبندان واقع شده است (شکل ۱). که در رده‌بندی‌های زمین‌شناسی در زون لوت و در

* نویسنده مسئول، تلفن: ۰۹۱۳۲۵۲۹۷۳۷، نمابر: ۴۲۲۵۳۸۴، پست الکترونیکی: Morteza.sform1@gmail.com



شکل ۱ موقعیت منطقه‌ی مورد بررسی.

است. اولین بار اشتوكلین (۱۹۶۸) بلوک لوت را به عنوان یکی از ۹ زون ساختاری ایران در شرق ایران، معرفی کرد، و معتقد است که مرز شرقی لوت، گسل نهندان، مرز غربی آن گسل نایبند، مرز شمالی آن گسل درونه و مرز جنوبی آن فروافتادگی جازموریان است [۴]. بلوک لوت با یک روند شمالی-جنوبی به درازای حدود ۹۰۰ کیلومتر و عرض حدود ۱۵۰ تا ۲۰۰ کیلومتر شرقی‌ترین بخش خرد قاره‌ی ایران مرکزی است [۳]. امامی (۱۳۷۹) در یک جمع‌بندی کلی سنگ‌های آتشفسانی بلوک لوت را به دو بخش کهن و جوان جدا کرد: (الف) سنگ‌های آتشفسانی پالئوزن (الیگوسن-میوسن) که بیشتر متمایل به اسیدی-حدواسط بوده و شامل سنگ‌های ریولیتی تا آندزیتی است. (ب) سنگ‌های آتشفسانی پالئوزن (پالئوسن) که کم و بیش بازیک و غالباً از نوع بازاالتی هستند [۵]. این ماقم‌اتیسم، به طور مشخص محدود به گسل‌ها و شکستگی‌های محدود کننده‌ی بلوک لوت است.

سنگ شناسی

نهشته‌های منطقه‌ی مورد بررسی به طور کلی به پس از ائوسن تعلق داشته و سنگ‌های قدیمی‌تر از ائوسن در گستره‌ی مورد

موارد زیر انجام گرفت:

- ۱- بررسی‌های صحراوی برای نمونه‌برداری و جمع‌آوری شواهد زمین‌ساختی، به تعداد ۲۰۰ نمونه‌ی سنگی و کانسنگ از تمام گستره‌ی معدن مورد نظر.
- ۲- تهیی مقطع نازک برای بررسی بافت‌ها و کانی‌ها.
- ۳- ارسال ۱۱ نمونه از نمونه‌های سنگی نادگرسان یا دارای دگرسانی کم برای تجزیه شیمیایی به روش XRF به مشهد و نیز آزمایشگاه شرکت کانساران بینالود.
- ۴- استفاده از نتایج آنالیز ICP-MS و ICP-AES روی نمونه‌های مورد بررسی.
- ۵- ترسیم نمودارهای مختلف سنگ‌شناسی با استفاده از نرم-افزارهای GCDkit، Igpet و Minpet به منظور تعیین سری ماقم‌ای و محیط زمین‌ساختی منطقه‌ی مورد بررسی.

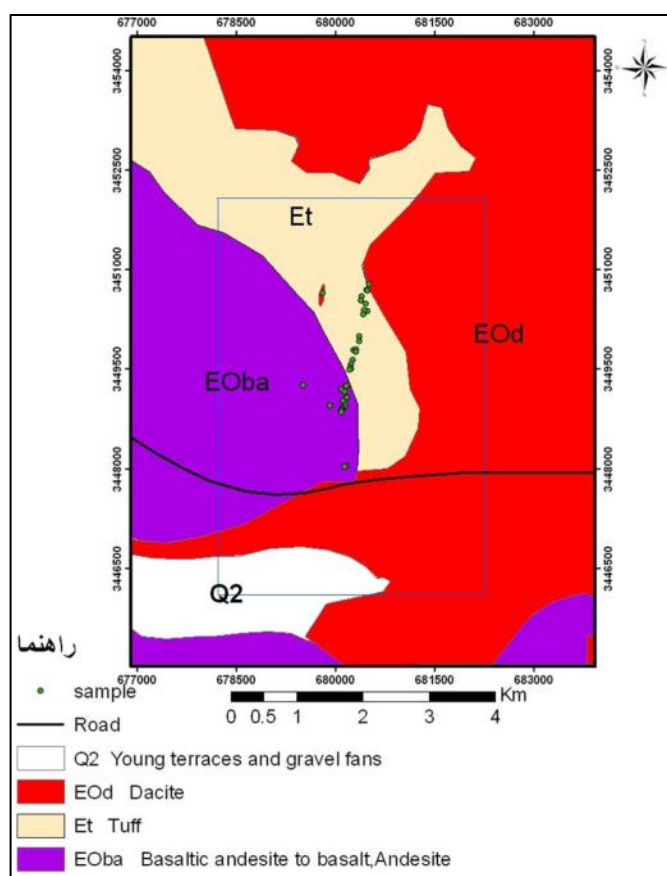
بحث و بررسی

زمین شناسی

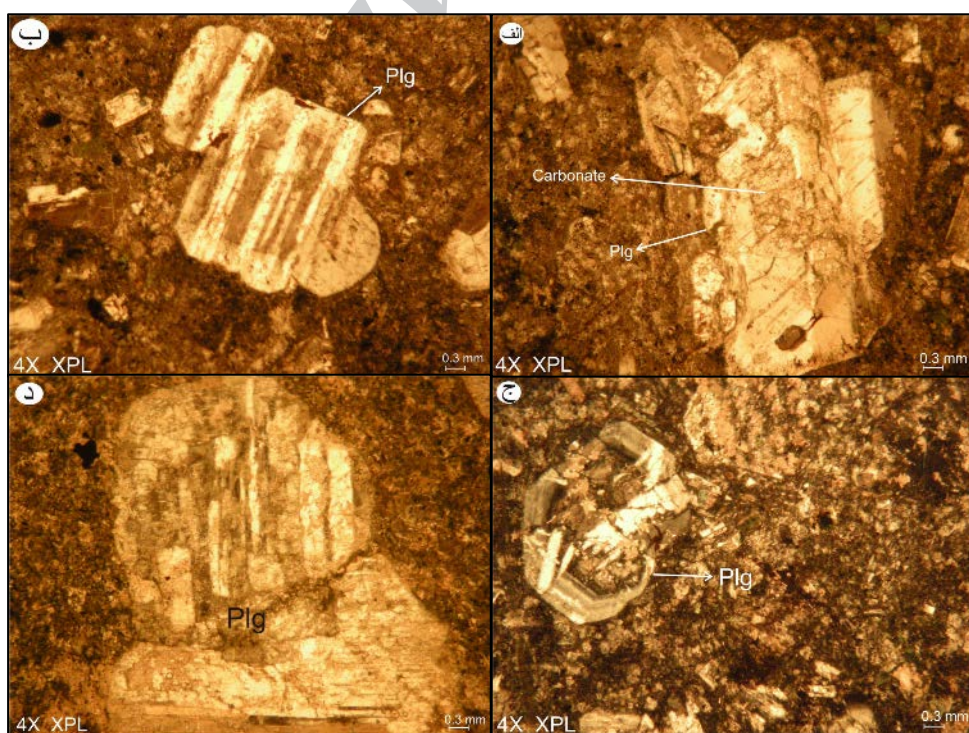
منطقه‌ی مورد بررسی در گستره‌ی طول‌های جغرافیایی شرقی ۳۰° تا ۵۸°۳۰' و عرض‌های جغرافیایی شمالی ۰°۰۰' تا ۴۵°۳۱' قرار گرفته و بخشی از چهارگوش چاموک (دهسلم)

پلازیوکلаз است، که این اختلاف زیاد و ناگهانی بین اندازه‌ی دانه‌های فنوکریست و زمینه را نتیجه تبلور دومرحله‌ای می‌دانند، که کانی‌های درشت بلور به صورت اولیه در عمق تشکیل شده و معرف مراحل اولیه‌ی تبلورند، در صورتی که ریز بلورهای خمیره در نتیجه انتقال ناگهانی مخلوط بلور و گذاره به بخش‌های بالای پوسته زمین شکل گرفته‌اند. فنوکریست‌های پلازیوکلاز در زمینه‌ی ریز دانه سبب ایجاد بافت پورفیری شده است. (۲) کوارتز: این کانی هم به صورت ریزدانه و هم درشت دانه دیده شده و در نمونه‌های داسیتی از درصد بیشتری برخوردار است، کوارتز در منطقه‌ی مورد بررسی هم به صورت رگه-رگچه و همزمان با کانی‌سازی و هم به شکل ثانویه دیده می‌شوند. رگه‌های فراوانی از کوارتز در نمونه وجود دارند که ثانویه‌اند. کوارتز در ابعاد ریز بلورین تا بلورهایی با ابعاد ۳۰۰ میکرون دیده می‌شوند. انواع درشت‌تر کوارتز خودریخت هستند و بلورهای نسبتاً خودشکل کوارتز به صورت رگچه‌هایی دیده می‌شوند که حاصل به دنبال هم قرار گرفتن دانه‌های کوارتز است. (۳) کانی‌های تیره: این کانی‌ها حدود ۵-۲۰ درصد حجمی کانی‌ها را تشکیل می‌دهند. در بعضی نمونه‌های مورد بررسی، بیوتیت‌های مشاهده شده اولیه اند و برخی از این بیوتیت‌ها تا اندازه‌ای کلریتی شده‌اند (شکل ۴ پ). پلازیوکلاز به وسیله‌ی بیوتیت و کانی‌های تیره جانشین شده است، و آمفیبول‌ها نیز با حاشیه‌های سوخته دیده می‌شوند، که مشاهده سوختگی در هورنبلند و بالا بودن PH_2O در پایان روند بلوری شدن، بالا بودن fO_2 هنگام بیرون ریزی گذاره را نشان می‌دهد. حاشیه‌ی سوخته هورنبلند حاکی از دمای زیاد مagma‌ی سازنده‌ی سنگ‌های آتشفشاری هنگام خروج است (شکل ۴ الف). اکسایش بیوتیت و هورنبلند به اکسیدهای آهن هنگام بیرون ریزی گذاره مشاهده می‌شود (شکل ۴ ب)، و کلریت‌شدن فازهای مافیک نظیر بیوتیت، آمفیبول نیز در سنگ‌ها مشاهده می‌شود (شکل ۴ پ، ۴ الف). پیروکسن‌های مشاهده شده در سنگ‌های منطقه نیز به صورت فنوکریست و گاهی ریز دانه‌اند بطوریکه در پیروکسن آندزیت‌ها تا ۱۰-۱۵ درصد حجم سنگ را تشکیل می‌دهند (شکل ۴ ت). (۴) کانی‌های ثانویه: کانی‌هایی از قبیل سریسیت، کانی‌های رسی، کلسیت، کلریت، اپیدوت و کوارتز ثانویه در این سنگ‌ها مشاهده می‌شوند که حاصل دگرسانی کانی‌هایی چون پلازیوکلاز، هورنبلند و بیوتیت‌اند.

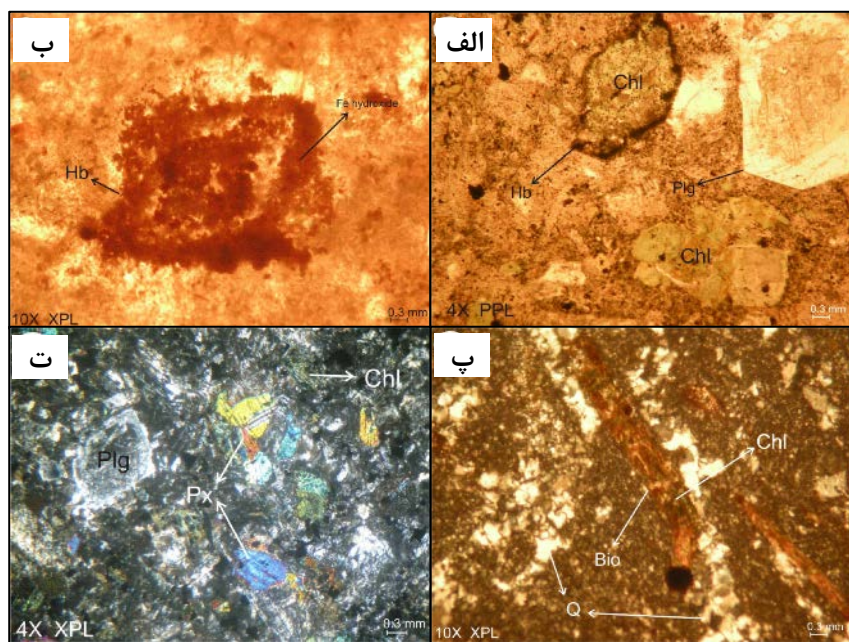
بررسی برونزد ندارد [۶]. واحدهای موجود در گستره‌ی معدن مس ماهور به شرح زیرند (شکل ۲): واحد (EO^{ba}): این مجموعه بصورت مناطقی که با شکل حلقوی سطح زمین را با سنگ‌هایی به رنگ سیاه پوشانیده‌اند، و شامل آندزیت‌بازالت و بازالت به رنگ خاکستری تیره تا سیاه، قابل تفکیک است. این واحد سنگی در بخش غربی این گستره گسترش دارد. واحد (E^1): این واحد سنگی شامل توف، بیشتر با ترکیب حدواسط تا اسیدی به رنگ سبز و خاکستری، گذاره‌های داسیتی، گذاره‌های آندزیتی، توف و سنگ‌های آتشفشاری، توف جریانی و ماسه سنگ است که توف یاد شده بیشتر از توف لیتیک تشکیل شده است و در سطح به صورت برشی، سیلیسی و پیریتی شده دیده می‌شود. واحد (EO^{d}): این واحد سنگی که با رنگ روشن خود بیشترین گستره را در گستره‌ی پی‌جویی به نمایش می‌گذارد. بخش‌های گستردگی از شرق و جنوب و جنوب شرقی گستره را فرا گرفته است از جمله سنگ‌های دیده شده در این واحد می‌توان به داسیت و ریوداسیت‌های حاوی پیریت اشاره کرد که با رنگ روشن خود به خوبی قابل تفکیک است. روراندگی‌های آبرفتی جوان (Q^{12}): نهشته‌های آبرفتی جوان شامل ماسه، سیلت و رس هستند، که سن این واحد با توجه به نقشه‌ی زمین شناسی ۱,۲۵۰۰۰ چاموک، کواترنر است و بیشترین گستره را در بخش جنوب غربی این گستره دارد. این مجموعه‌ی آتشفشاری بیشتر تحت تاثیر دگرسانی‌های کربناتی، سریسیتیک، سیلیسی، پروپیلیتیک و آرژیلیک قرار گرفته‌اند. بافت‌های مهم در این سنگ‌ها پورفیری، دانه‌ای تا ریز دانه‌ای، برشی، کلوفرم، موزائیکی و ویتروکلاستیک‌اند. کانی‌هایی تشکیل دهنده‌ی این سنگ‌ها عبارتند از: (۱) پلازیوکلاز: در مقاطع میکروسکوپی فنوکریست‌های پلازیوکلاز به عنوان یکی از فراوان ترین کانی‌های موجود در این سنگ-هاست که در بیشتر مواقع تحت تاثیر دگرسانی قرار گرفته و به کربنات، سریسیت، اپیدوت و کانی‌های رسی تبدیل شده است (شکل ۳ الف). پلازیوکلاز در انواع نمونه‌های آندزیتی بیش از ۵۰ درصد حجم سنگ را تشکیل داده و سالم مانده و تحت تاثیر دگرسانی قرار نگرفته‌اند. بلورهای پلازیوکلاز به صورت شکل دار تا نیمه شکل دارند و دارای ماکل پلی‌سنتیک (شکل ۳ ب)، بافت غربالی (شکل ۳ الف) و منطقه‌بندی (شکل ۳ پ) هستند. در حاشیه تعدادی از پلازیوکلازها حالت غبار آلودگی دیده می‌شود (شکل ۳ ت)، که این حالت به احتمال ناشی از اختلاط magma‌ی است. زمینه‌ی ریز بلوری شامل بلورهای ریز



شکل ۲ موقعیت نمونه‌های برداشت شده و واحدهای سنگی منطقه‌ی کانسار مس ماهور.



شکل ۳ بلورهای پلازیوکلاز با بافت غربالی و کربناتی شدن آن (الف)، بافت پلی‌سنتتیک (ب)، منطقه‌بندی در بلور پلازیوکلاز (ج) و حاشیه‌ی غبار آلد اطراف بلور پلازیوکلاز (د).



شکل ۴ بلورهای هورنبلند با حاشیه‌ی سوخته و کلریتی شدن آن (الف)، اکسایش هورنبلند به اکسید آهن (ب)، کلریتی شدن بیوتیت (پ) و بلور پیروکسن (ت).

پایان جدایش ماقمایی حضور دارد و در آغاز جدایش ماقمایی، در ساختار پلازیوکلازهای کلسیک و پیروکسن قرار می‌گیرد و در پایان جدایش با پیشرفت سری پیوسسه، پلازیوکلازها در فلدسپات‌های قلیایی متمرکز می‌شود. میزان این اکسید در نمونه‌های مورد بررسی از ۱۵/۱۶ تا ۱۶/۳ درصد وزنی متغیر است. از آنجا که Mg همانند Ca از عناصر دیرگذار محسوب شده و تمایل دارند در فازهای اولیه (آغاز فرایند جدایش)، کانی‌های مافیک را تشکیل دهند و از محلول خارج شوند، بنابراین با افزایش روند جدایش (افزایش SiO_2) غلظت MgO به شدت کاهش می‌یابد. میزان MgO در سنگ‌های مورد بررسی از ۰/۰۱ تا ۰/۰۳ درصد وزنی متغیر است. اکسیدی است که در مراحل اولیه‌ی جدایش تمایل دارد وارد فازهای با دمای بالا مانند کانی‌های مافیک و پلازیوکلازهای کلسیم‌دار شود، بدین ترتیب است که با خروج این کانی غلظت این اکسید با ادامه‌ی روند جدایش کاهش خواهد یافت، که این امر می‌تواند به شکل‌گیری ترکیب پلازیوکلازها از کلسیک به سدیک حین تبلور بخشی ماقماً وابسته باشد. میزان CaO در نمونه‌های مورد بررسی از ۰/۰۱ تا ۰/۰۳ درصد وزنی متغیر است. عناصر K و Na از عناصر متحرک‌اند. میزان Na_2O در نمونه‌های منطقه از ۰/۱۳ تا ۰/۰۹ درصد وزنی تغییر می‌کند و میزان K_2O در این نمونه‌ها ۰/۰۵ تا ۱۱/۲۲ درصد وزنی است.

ژئوشیمی

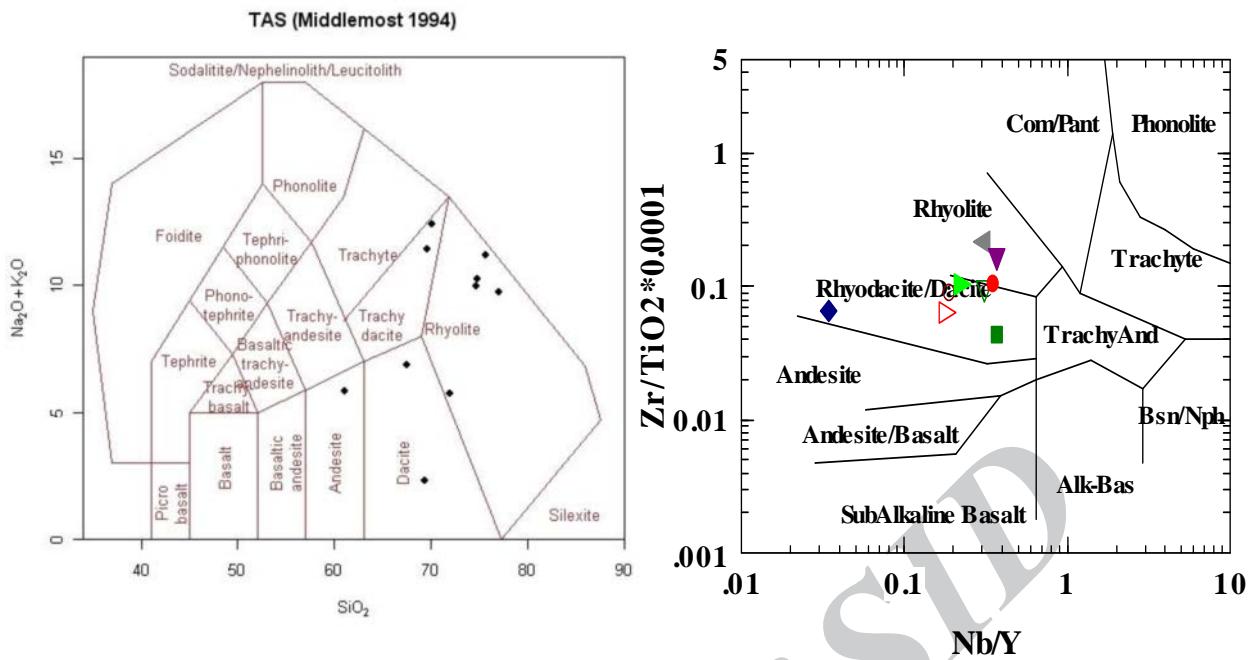
به منظور تعیین دقیق نوع سنگ‌های آتشفشانی منطقه‌ی مورد بررسی، پس از بررسی‌های میکروسکوپی و شناسایی کانی‌ها از رده‌بندی شیمیایی نیز استفاده شد، بدین منظور سعی شد تا نمونه‌های انتخاب شده سالم و کمتر دگرسان شده باشند، نتایج حاصل از تجزیه‌ی ژئوشیمیایی نمونه‌های مختلف سنگ‌های آتشفشانی در جدول ۱ آورده شده‌اند. درصد SiO_2 موجود در نمونه‌ها از ۴۷/۸۹ تا ۸۴/۴۵ درصد وزنی متغیر است، و در نمودار TAS [۷] نمونه‌های سنگی منطقه‌ی مورد بررسی در گستره‌ی داسیت، آندزیت، تراکی‌داسیت و ریولیت قرار می‌گیرند (شکل ۵). با توجه به این که امکان دگرسانی و تغییرات کانی‌شناسی و شیمیایی سنگ‌های آتشفشانی بیشتر از سنگ‌های آذرین درونی است، لذا با استفاده از عناصری که امکان تحرک کمتری دارند، می‌توان آنها را نام‌گذاری کرد و در موقعي که سنگ دستخوش دگرسانی شده، در تعیین نام سنگ می‌تواند مفید باشد، نمودار Zr/TiO_2 نسبت به Y/Nb نمونه‌ای از این نمودارهاست [۸] در این نمودار، سنگ‌های منطقه در گستره‌های ریولیت و ریوداسیت-داسیت قرار می‌گیرند (شکل ۵). در نمونه‌های مورد بررسی با افزایش SiO_2 غلظت Al_2O_3 نسبتاً افزایش می‌یابد که این با روند عادی جدایش عناصر در سنگ‌های عادی منافاتی ندارد. آلومینیم از آغاز تا

پیام تغییر می‌کند و بیشترین مقدار به نمونه‌ی MCD-S32 داده است که می‌تواند به دلیل حضور آمفیبول در این نمونه باشد، میزان زیرکنیوم با افزایش روند جدایش افزایش می‌یابد. تشخیص بعضی سری‌ها و شکل‌گیری‌های ماقمایی با نمودارهای مثلثی نیز صورت می‌گیرد، که یکی از این نمودارهای مثلثی معمول، نمودار مثلثی AFM است، و نام این نمودار از رئوس $A = \text{Na}_2\text{O} + \text{K}_2\text{O}$, $F = \text{FeO} + \text{Fe}_2\text{O}_3$ و $M = \text{MgO}$ گرفته شده است [۱۰]، چنانکه پیداست نوع سری ماقمایی سنگ‌های آذرین منطقه‌ی مورد بررسی، آهکی‌قلیایی تا تولئیتی است (شکل ۶). به منظور تعیین دقیق‌تر موقعیت

بالا بودن مقادیر K_2O را می‌توان به دگرسانی و احتمالاً آلایش پوسته‌ای نسبت داد. تغییرات اکسیدهای TiO_2 و FeO نسبت به SiO_2 نشان می‌هد که مقادیر آنها با افزایش مقدار SiO_2 از یک روند نزولی پیروی می‌کند که می‌تواند نشان دهنده‌ی تبلور بخشی کانی کلینوپیروکسن طی تبلور ماقما باشد [۹]. میزان Rb در نمونه‌های منطقه از ۸۸۵ پی‌پی ام متغیر است و بیشترین مقدار مربوط به نمونه‌های MCD-S29 است که می‌تواند به دلیل حضور فلدسپار پتاسیم در این نمونه باشد. لذا با SiO_2 این دو عنصر روند نسبتاً افزایشی از خود نشان دهنده‌ی می‌یابد. میزان زیرکنیوم نمونه‌های منطقه از ۲۵۸ تا ۶۰۶ پی-

جدول ۱ نتایج تجزیه‌ی شیمیایی سنگ‌های آتشفشاری کانسار مس ماهور به روش XRF

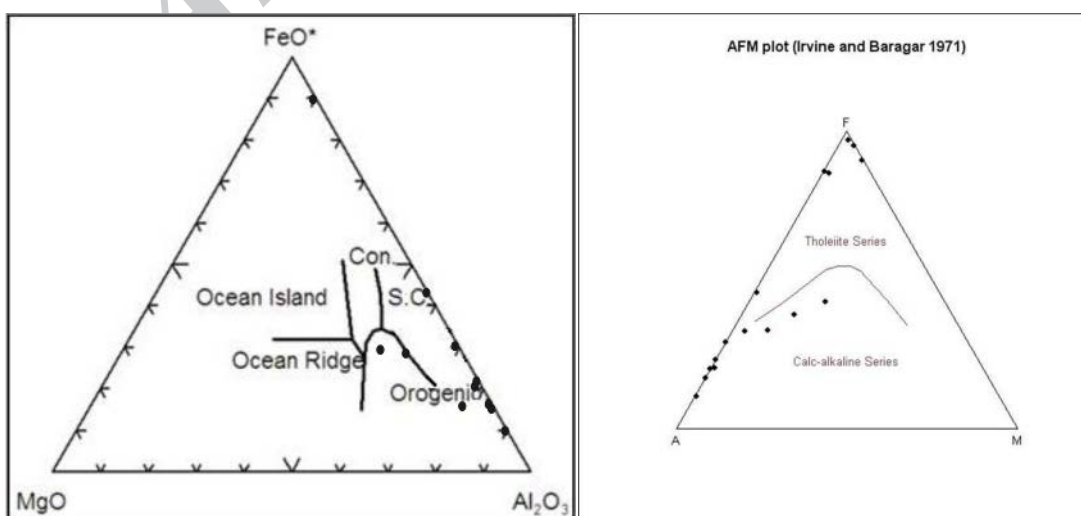
sample	S37	S29	S14	S7	S94	S32	MF1	S114	S9	BZ011	S150
SiO_2 (wt%)	۶۰.۹۸	۶۶.۸	۶۶.۱۹	۷۴.۳۶	۵۹.۳۳	۶۴.۹۴	۶۸.۵۶	۴۷.۸۹	۶۲.۹۶	۶۲.۰۲	۸۴.۴۵
Al_2O_3	۹.۴۲	۱۲.۴۵	۱۵.۱۶	۱۰.۷۸	۱۲.۸۷	۱۱.۳۶	۹.۶۴	۱۰.۲۴	۸.۲۸	۱.۶۳	۲.۶۹
Na_2O	۰.۱۴	۰.۶۳	۰.۴۲	۰.۴۸	۳.۰۹	۲.۷۳	۰.۲۴	۰.۱۷	۰.۲۳	۱.۵	۰.۱۳
MgO	۰.۰۱	۰.۱۶	۰.۹۷	۰.۰۹	۳.۶۳	۲.۱۸	۰.۰۱	۰.۰۱	۰.۰۱	۰.۰۳	۰.۰۳
K_2O	۸.۰۱	۱۱.۲۲	۴.۸۷	۱۰.۵۱	۲.۵۶	۳.۸۶	۸.۴۲	۷.۶۹	۸.۵۶	۰.۵۴	۲.۰۹
TiO_2	۰.۳۳	۰.۴۹	۰.۶۳	۰.۲۹	۰.۸۲	۰.۶	۰.۱۶	۰.۴۸	۰.۳۹	۰.۰۷	۰.۰۸
MnO	-	۰.۰۱	۰.۰۲	۰.۰۲	۰.۱۳	۰.۱	-	۰.۰۱	-	۸.۲۶	۰.۰۲
CaO	۰.۰۱	۰.۰۹	۰.۰۷	۰.۱۵	۶.۷۷	۴.۱۸	۰.۰۴	۰.۰۵	۰.۰۸	۰.۲۴	۰.۲۹
P_2O_5	۰.۰۱	۰.۰۸	۰.۱۳	۰.۰۷	۰.۲۱	۰.۱	۰.۰۱	۰.۰۷	۰.۰۴	۰.۱۹	۰.۰۲
Fe_2O_3	۲.۷۴	۳.۴۴	۳.۴۵	۱.۴۸	۷.۶۹	۶.۰۸	۱.۹۶	۲.۱۹	۴.۰۱	۱۴.۸۶	۲.۱
SO_3	۱۱.۷۱	۰.۲۱	۱.۳۴	۰.۰۸	۰.۷۵	۰.۰۵	۸.۵۵	۱۷.۶۷	۱۰.۵۱	۱.۰۷	۱.۱۴
LOI	۶.۱۶	۱.۵۹	۴.۸۱	۳.۹۸	۱.۷۵	۳.۴۱	۲.۹۶	۱۲.۹۵	۳.۳۳	۶.۲۶	۱.۲۸
Ba (ppm)	۱۰۵۶	۹۵۲	۳۰۸	۸۴۲	۳۶۳	۴۶۷	۸۲۸	۹۹۸	۶۹۷	۲۴۵	۱۵۳
CO	۵۸	۳۳	۴۰	۲۷	۱۰.۵	۸۳	۴۵	۲۲	۸۸	۴۲۶	۳۷
Cr	۳۹	۵۰	۲۷	۱۶	۱۲۳	۵۱	۵۰	۳۳	۵۰	۳۳۶	۱۱۵
Cu	۱۳۳	۵۱۷	۲۶۴۲	۱۵۴	۱۶۶	۱۹۶	۲۵۴	۴۹۲	۱۴۶	۱۴۷۰.۱	۲۴۶۸
Nb	۲۸	۱۶	۲۴	۱۷	۱۸	۲۲	۲۳	۱۱	۳	۳	-
Ni	۴۹	۹	۱۹	۳۵	۴۶	۱۵	۱۱	۷	-	۲	-
U	۲۲	۵	-	۱۸	۲۷	۱۵	۹	-	۶	۱۴	۱۵
Th	۱۳	۳۷	۱۱	۲۵	۱۶	۱۳	۱۷	۳	۱۷	۲۱۹	۸۴
Ce	۷۵	۱۶۴	۳۴	۵۴	۵۰	۸۰	۷۸	۸۸	۱۸	۱۶۱	۱۲۲
Cl	۱۳۳۸	۳۶۱۱	۳۶۹۴	۳۸۰۷	۹۶۳	۶۴۰	۱۲۳۱	۱۲۲۳	۲۵۱۷	۹۳۵۷	۱۰۵۷
Pb	۱۵۳	۱۳۴۶۷	۲۴۵۷	۵۶	۹۶	۵۵	۱۳۰	۴۶۷	۲۶۶	۳۰۹۴	۴۹۶۰.۳
Rb	۶۴۹	۸۸۵	۶۱۸	۷۳۹	۱۸۵	۲۸۰	۶۹۹	۵۰۱	۷۵۲	۱۲	۲۰۲
Sr	۲۶۷	۴۱۳	۱۷۳۹	۲۶۳	۱۱۳۹	۸۲۳	۲۲۲	۸۸۰	۳۱۸	۴۵۴	۹۶
V	۸۱	۱۵۵	۲۴۲	۶۷	۳۶۹	۱۶۷	۴۰	۱۵۵	۱۱۳	۳۰	۴۴
W	-	-	۲۶	۸	-	۲۲	-	۸۶	۲۸	-	-
Y	۷۶	۸۷	۷۸	۷۵	۴۷	۶۱	۷۷	۵۶	۸۸	۹	۲۹
Zr	۵۱۷	۳۱۶	۵۷۰	۳۰۳	۳۴۱	۶۰۶	۳۴۸	۴۱۲	۲۵۸	-	-
Zn	۱۷۱	۷۴۹۸	۶۸۴۳	۵۳۲	۱۴۷	۲۶۳	۴۱۹	۳۸۶	۶۸۸	۳۹۸۲	۲۸۴۷
Mo	-	-	-	-	-	-	-	-	-	۲۴	-



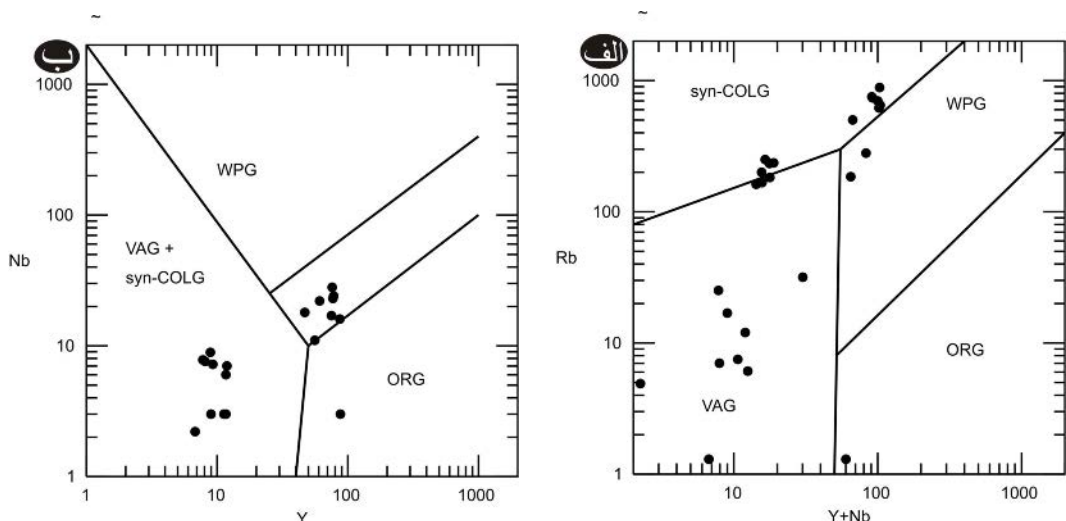
شکل ۵ موقعیت سنگ‌های آتشفشاری منطقه‌ی مورد بررسی در نمودار [۸,۷].

نمودار جدایش محیط زمین‌ساختی گرانیت‌وئیدهای پیشنهادی [۱۲] که بر حسب عناصر کمیاب $\text{Rb} + \text{Nb}$ و Y است نیز، موقعیت زمین‌ساختی سنگ‌های آتشفشاری منطقه‌ی مورد بررسی در گستره‌ی وابسته به قوس‌های آتشفشاری و همزمان با برخوردهای قرار می‌گیرد (شکل ۷). دیگر نمودارهای استفاده شده برای تعیین جایگاه زمین‌ساختی سنگ‌های ماقمایی از $\text{Hf}/3\text{-Th}$ - $\text{Nb}/16$ و $\text{Nb}/3\text{-Th-Ta}$ است [۱۳] که نمونه‌ها در گستره‌ی CAB یا حاشیه‌ی مخرب قاره‌ای قرار می‌گیرند (شکل ۸).

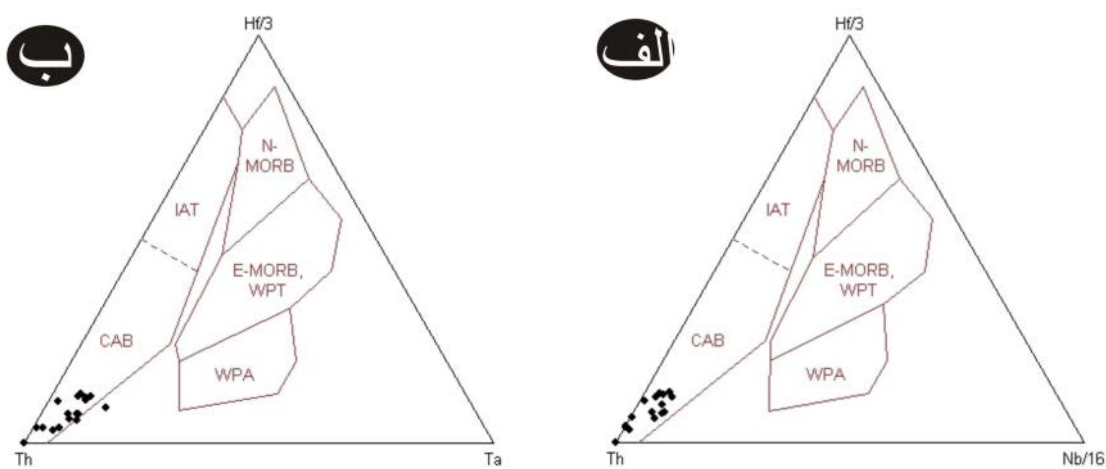
زمین‌ساختی سنگ‌ها و جدا کردن قوس‌های آتشفشاری می‌توان از نمودار مثلثی [۱۱] استفاده کرد، که با توجه به این نمودار، نمونه‌های منطقه در موقعیت زمین‌ساختی همزمان با برخوردهای قاره‌ای جای می‌گیرند (شکل ۶). به منظور تعیین محیط زمین‌ساختی سنگ‌های آتشفشاری مورد بررسی، از نمودارهایی استفاده می‌شود که عناصر کمیاب کم تحرکی نظیر Y , Nb , Ta , Hf , Zr و غیره سازنده‌های آن هستند. این عناصر نسبتاً نامتحرك بوده و هنگام عملکرد فرآیندهایی مثل هوازدگی و دگرسانی از خود حساسیتی نشان نمی‌دهند. با استفاده از



شکل ۶ نمودار AFM [۱۰] و جدایش سنگ‌های آذرین وابسته به قوس‌های آتشفشاری [۱۱] و موقعیت نمونه‌های آتشفشاری مورد بررسی بر آن.



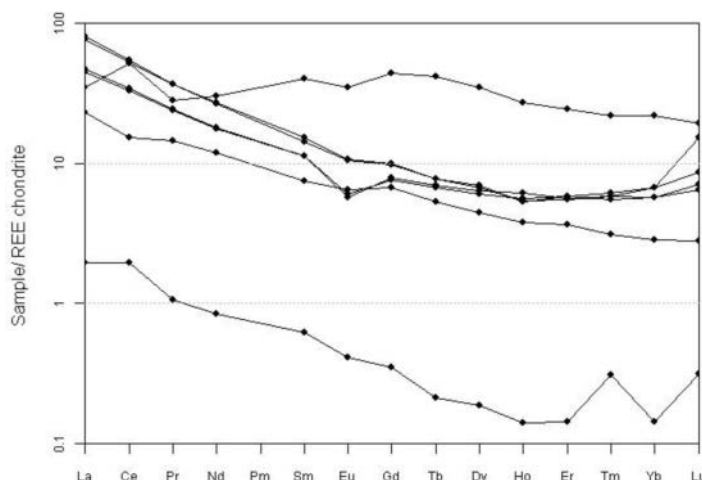
شکل ۷ قرارگیری نمونه‌های منطقه‌ی مورد بررسی در قوس‌های آتشفشاری و محیط زمین ساختی همزمان با برخورد [۱۲].



شکل ۸ نمودار زمین ساختی ماگمایی سنگ‌های کانسار مس ماهور که در گستره‌ی CAB یا حاشیه‌ی مخرب قاره‌ای قرار می‌گیرند، Hf/3-Th-Ta (الف) و Hf/3-Nb/16 (ب)، [۱۳].

ها نسبت به HREE و اینکه ممکن است در اثر شکل‌گیری‌های ماگما در سنگ‌های شکل یافته‌ی منطقه‌ی متتمرکز شده باشند [۱۵]. عامل دیگری که ممکن است موثر باشد، تشکیل این سنگ‌های وابسته به مناطق فرورانش است [۱۶]. نسبت Eu^{*}/Eu به دست آمده از ۰/۹۳ تا ۰/۶۱ تغییر می‌کنند، بنابراین یک بی‌هنگاری منفی ضعیف دیده می‌شود. جدول ۳ مقادیر بی‌هنگاری منفی کانسار مس ماهور از عناصر خاکی کمیاب محاسبه شده Eu^{*}/Eu را نشان می‌دهد. غنی شدگی نمونه‌های مورد بررسی کانسار مس ماهور از عناصر خاکی کمیاب سبک و تهی شدگی آنها از عناصر خاکی کمیاب سنگین و نیز بی‌هنگاری منفی Eu^{*}/Eu نسبت به کندریت از سرشی‌های سنگ‌های آهکی-قلیایی آتشفشارهای حاشیه‌ی قاره‌هاست [۱۷].

در نمودار ترسیم شده‌ی عناصر خاکی کمیاب نمونه‌های مورد بررسی در کانسار مس ماهور نسبت به کندریت [۱۴] (شکل ۹)، شبیه منفی مشاهده می‌شود که نشان دهنده‌ی غنی شدگی نمونه‌ها از عناصر خاکی کمیاب سبک (LREE) و تهی شدگی از عناصر خاکی کمیاب سنگین (HREE) نمونه‌های منطقه است. مقادیر آنالیز عناصر REE در جدول ۲ آورده شده‌اند. میزان $\text{La}/\text{Yb}_{\text{N}}$ برای نمونه‌های مورد بررسی بین ۱/۶۱ تا ۱۳/۵۲ به دست آمده است. الگوی پراکندگی عناصر خاکی کمیاب در نمونه‌های یاد شده نسبتاً موازی است که نشان دهنده‌ی هم خاستگاه بودن آنهاست. برای غنی شدگی LREE نسبت به HREE می‌توان به ناسازگارتر بودن



شکل ۹ نمودار عناصر خاکی کمیاب نمونه‌های کانسار مس ماهور، بهنجار شده بر اساس کندریت [۱۴].

جدول ۲ نتایج تجزیه شیمیایی عناصر خاکی کمیاب (برحسب PPM) به روش ICP-MS

Sample	Lu	Ce	Pr	Nd	Sm	Eu	Gd	Tb	Dy	Ho	Er	Tm	Yb	Y
4-172	۰,۴۹	۴۲,۹	۴,۵۱	۱۶	۲,۸	۰,۷۷	۲,۵۲	۰,۳۷	۲,۱۸	۰,۳۹	۱,۱۵	۰,۱۹	۱,۴	۱۱,۷
4-173	۰,۲۸	۴۴,۲	۴,۵۱	۱۶,۲	۳	۰,۷۸	۲,۵۸	۰,۳۷	۲,۲۵	۰,۳۸	۱,۲۲	۰,۲	۱,۴	۱۱,۹
MH2d-43	۰,۲۱	۲۶,۷	۲,۹۱	۱۰,۶	۲,۲	۰,۴۴	۱,۹۷	۰,۳۲	۱,۹۵	۰,۴	۱,۲۲	۰,۱۸	۱,۲	۱۱,۳
MH2d-40	۰,۲۳	۲۷,۶	۲,۹۹	۱۰,۷	۲,۲	۰,۴۲	۲,۰۴	۰,۳۳	۲,۰۵	۰,۴۴	۱,۱۸	۰,۱۹	۱,۲	۱۱,۷
BZ011	۰,۰۱	۱,۵۸	۰,۱۳	۰,۵	۰,۱۲	۰,۰۳	۰,۰۹	۰,۰۱	۰,۰۶	۰,۰۱	۰,۰۳	۰,۰۱	۰,۰۳	۰,۲۵
BZ017	۰,۶۲	۴۱,۷	۳,۴۱	۱۸,۲	۷,۸۱	۲,۵۵	۱۱,۴	۱,۹۸	۱۱,۱۵	۱,۹۴	۵,۱۳	۰,۷۱	۴,۵۹	۳۰,۱
G1	۰,۰۹	۱۲,۳۵	۱,۷۶	۷,۱	۱,۴۶	۰,۴۸	۱,۷۳	۰,۲۵	۱,۴۳	۰,۲۷	۰,۷۶	۰,۱	۰,۵۹	۷,۷۱

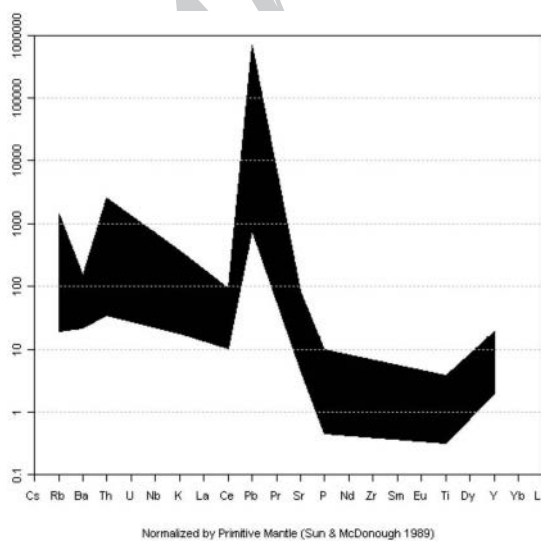
جدول ۳ محاسبه نسبت Eu/Eu* نمونه‌های مورد مطالعه در کانسار مس ماهور.

Sample	MCD-4-172	MCD-4-173	MCD-MH2d48	MCD-MH2d40	MCD-BZ011	MCD-BZ017	MCD-G1
Eu	۰,۷۷	۰,۷۸	۰,۴۴	۰,۴۲	۰,۰۳	۲,۵۵	۰,۴۸
Gd	۲,۵۲	۲,۵۸	۱,۹۷	۲,۰۴	۰,۰۹	۱۱,۴	۱,۷۳
Sm	۲,۸	۳	۲,۲	۲,۲	۰,۱۲	۷,۸۱	۱,۴۶
EuN	۱۰,۴۷	۱۰,۶۲	۵,۹۸	۵,۷۲	۰,۴۱	۳۴,۶۹	۶,۵۳
GdN	۹,۷۳	۹,۹۶	۷,۶۱	۷,۸۷	۰,۳۵	۴۴,۰۲	۶,۶۸
SmN	۱۴,۳۶	۱۵,۳۸	۱۱,۲۸	۱۱,۲۸	۰,۶۲	۴۰,۰۵	۷,۴۸
Eu/Eu*	۰,۸۸	۰,۸۶	۰,۶۵	۰,۶۱	۰,۸۹	۰,۸۳	۰,۹۳

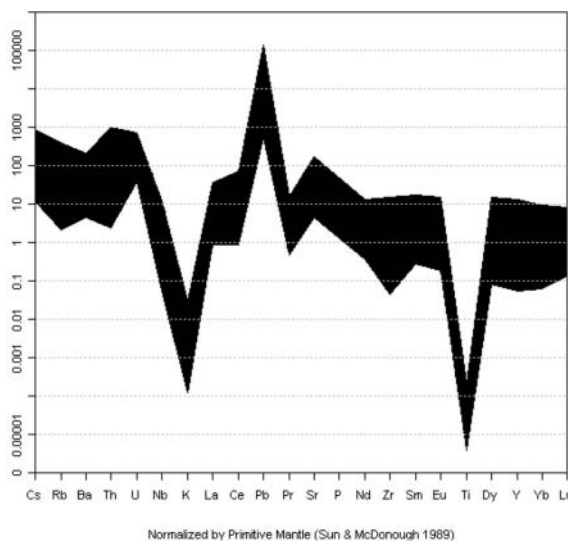
ای باشد [۱۹] بیهنجاری‌های مثبت Pb تا بالای ۱۰۰۰ برابر مقادیر اولیه آنها در گوشه‌های اولیه است که به دگرنهادی گوهی گوشه‌هایی به وسیله‌ی شاره‌های ناشی از پوسته‌ی اقیانوسی فرورو یا آلایش مانگما با پوسته‌ی قاره‌ای اشاره دارد [۲۰]. در نمودار عنکبوتی (شکل ۱۰) عنصر K بیهنجاری مثبت نشان می‌دهد (بین ۱۰۰ تا ۱۰۰۰ برابر مقادیر اولیه این عنصر نسبت به گوشه‌ی اولیه)، و خاستگاه K موجود در این سنگ‌ها معمولاً از خاستگاه رسوب‌هایی است که به وسیله‌ی ورقه‌ی

ترکیب شیمیایی سنگ‌های منطقه‌ی مورد بررسی نسبت به فراوانی این عناصر به گوشه‌ی اولیه [۱۸] بهنجار شده اند (شکل ۱۰). در نمونه‌های مورد بررسی کانسار مس ماهور، غنی‌شدگی نسبتاً ضعیفی از عناصر اولیه نشان دهد که این امر احتمالاً به دلیل اضافه شدن گذاره‌ی حاصل از رسوبهای پلاژی و یا شاره‌های حاصل از پوسته‌ی اقیانوسی دگرسان شده به چشم‌های ذوب‌شده گوهی گوشه-

پیام و مقادیر Nb از ۰/۱ تا ۲۸ تغییر می‌کند. بالا بودن غلظت عناصر (Sr, Pb, Cs, Rb, Ba) در این نمونه‌ها احتمالاً به دلیل عملکرد و تاثیر پوسته‌ی قاره‌ای در غنی شدن ماغماها در محلول‌های تشکیل دهنده‌ی آن باشد. نسبت عناصر LILE/HFSE در این سنگ‌ها بالاست، به گونه‌ای که نسبت LILE/Sr/Zr, Ba/Hf به دلیل دارا بودن پتانسیل یونی پایین، در فشار و دمای بالا به آسانی در شاره‌های آبدار حل شده و انتقال می‌یابند [۲۳]. در صورتی که میزان اتحال پذیری عناصر HFSE در شاره‌های آبدار پایین است، و باعث می‌شود که حین ذوب بخشی با از دست دادن آب پوسته‌ی اقیانوسی فروروند، گوهی گوشته بر اثر دگرنهادی شاره‌های آبدار از عناصر LILE نسبت به عناصر HFSE غنی شود. همچنین عناصر HFSE به دلیل دارا بودن بار الکتریکی بالا و شعاع اتمی کم، تمایل چندانی برای ورود به فاز آبگون را ندارند و این در حالی است که عناصر LILE چون دارای شعاع اتمی بزرگ هستند به سادگی طی آبدایی وارد فاز مایع می‌شوند، بنابراین هنگامی که پوسته‌ی اقیانوسی فروروند دستخوش آبزدایی شود، شاره‌ای تولید می‌شود که غنی از عناصر LILE است و این مایع می‌تواند موجب دگرنهادی گوشته‌ای شود که در زیر این پوسته قرار گرفته است و عناصر HFSE هم که وارد فاز مایع نشده‌اند در همان نهشته‌های باقیمانده انباشته می‌شود، به طوری که فرآیند فرورانش نقش مهم و تاثیرگذاری در افزایش میزان نسبت LILE/HFSE بازی می‌کند.



فرورونده وارد گوشته شده‌اند. غنی‌شده‌ی عناصری مانند Ba و Sr (بین ۱۰ تا ۱۰۰ برابر مقادیر اولیه آنها نسبت به گوشته‌ی اولیه) به این دلیل است که باریم عنصری ناسازگار و متحرک است که مقدار آن معمولاً در پوسته‌ی قاره‌ای و رسوب‌های زیاد است و هنگامی که پوشش رسوبی روی پوسته‌ی اقیانوسی فروراند می‌شود، عناصر Ba و Sr به وسیله‌ی شاره‌های مشتق شده از رسوب‌های آبدار و پوسته‌ی اقیانوسی به گوهی گوشته‌ای منتقل شده و تولید ماغماهایی با Ba و Sr بالا می‌کند [۲۱]. و بی‌هنجری مثبت Sr می‌تواند به مشارکت پلازموکلاز حین ذوب بخشی سنگ خاستگاه یا نشانه‌ی ریشه گرفتن ماغمای تشکیل دهنده‌ی این سنگ‌ها از پوسته‌ی اقیانوسی فرورو باشد. میزان Th در نمونه‌های منطقه از ۰/۲ تا ۲۱۹ پی- پیام و میزان Ba از ۳۰ تا ۱۴۵۰ پی‌پیام تغییر می‌کند که نسبت بالای Ba/Th در نمونه‌ها اشاره به تاثیر رسوب‌ها در پیدایش ماغما دارد [۲۱]. بی‌هنجری منفی Ti به وسیله‌ی کانی‌های تیتان‌دار مانند اسفن، ایلمنیت، روتیل و تیتانومگنتیت و بعضی از آمفیبول‌ها کنترل می‌شود و با افزایش فشار قابلیت حل شدن کانی‌های تیتان‌دار در شاره‌های آبدار کاهش می‌یابد و کانی‌های یاد شده‌ی غنی از عناصر HFSE، طی فرآیندهای ذوب بخشی در اعماق بیش از ۳۰ کیلومتر به صورت فازهای برجا باقی می‌مانند و باعث ایجاد بی‌هنجری منفی Ti می‌شوند [۲۲]. نتایج آنالیز تعدادی از عناصر موجود در نمونه‌های مورد بررسی در جدول ۴ دیده می‌شوند. مقادیر Ta در نمونه‌ها از ۰/۰۰۵ تا ۰/۰۶۸ پی‌پیام و مقادیر Ti کمتر از ۰/۰۰۵ تا ۰/۰۲۸ پی-



شکل ۱۰ نمودار عنکبوتی بهنجار شده به گوشته‌ی اولیه [۱۸].

جدول ۴ نتایج آنالیز تعدادی از عناصر موجود در نمونه‌های سنگ مورد مطالعه.

Sample	Cs (PPM)	Ba (PPM)	Hf (PPM)	P(PPM)	Ti %
N5	۰,۰۹	۱۶۰	۰,۱	۱۰	۰,۰۰۵
N6	۲,۴۳	۶۹۰	۱,۵	۲۰۰	۰,۱۶۷
S86180	۵,۲۶	۹۳۰	۱,۸	۵۲۰	۰,۲۷۱
S86181	۰,۴۲	۳۰	۰,۱	۴۰	۰,۰۰۵
S86182	۰,۵۷	۵۰	۰,۱	۱۵۰	۰,۰۰۶
S86183	۱,۴۳	۵۰۰	۰,۷	۱۱۰	۰,۰۷۹
S86184	۲,۷۷	۹۲۰	۱,۷	۱۳۰	۰,۱۸۱
S86185	۲,۳۲	۶۴۰	۲,۵	۷۰	۰,۰۶۳
S86186	۱,۹۹	۵۹۰	۰,۱	۵۰	۰,۰۰۹
BZ012	-	۱۲۰۰	-	۴۳۰	۰,۰۵
BZ013	-	۶۰	-	۱۲۰	۰,۰۵
BZ016	۰,۵۴	۱۸۰	۰,۱۳	۳۰	۰,۰۰۵
BZ018	۰,۲۵	۲۲۰	۰,۱۴	۱۰۰	۰,۰۰۵
BZ011	۰,۱۸	۳۰	۰,۰۲	۲۰	۰,۰۰۵
BZ017	۰,۵۲	۷۸۰	۰,۱۱	۱۰۰۰	۰,۰۰۵
G1	۶,۸	۷۱۰	۰,۱۲	۲۴۰	۰,۰۳
S4-172	۲,۸	۱۴۵۰	۳	-	۰,۲۸
MH2d-43	۲,۶	۶۴۱	۲	-	۰,۱۷

برداشت

بر اساس رده‌بندی شیمیایی، سنگ‌های مورد بررسی عبارتند از آندزیت، تراکی آندزیت، آندزیت‌بازالت، ریولیت، داسیت و ریوداسیت. بر اساس نمودارهای سنگشناسی، سری ماگمای سنگ‌های مورد بررسی دارای ماهیت آهکی-قلیایی پرپیاتسیم هستند، و با استفاده از نمودارهای جداکننده محیط زمین ساختی، سنگ‌های آتشفشاری مورد نظر در نواحی فرورانش و گاهی در نواحی درون صفحه‌ای قرار گرفته‌اند، و بالا بودن نسبت‌های LREE/HREE و LILE/HFSE جزء نشانه‌های فرورانش محسوب می‌شوند. بیهنجاری منفی عناصر P، Cs و Ti و بیهنجاری مثبت Pb در این سنگ‌ها نشان دهنده تشابه سرتی‌های شیمیایی این سنگ‌ها با ماگماتیسم قوس-های آتشفشاری است.

مراجع

- [۱] بهادران ن، ترابی ق، احمدیان ج، موراتا م، "مطالعه شیمی کانی سنگ‌های آتشفشاری تاحیه غرب عروسان کبودان (شمال شرق اصفهان)"، مجله بلور شناسی و کانی شناسی ایران، شماره ۱ (۱۳۸۷) ص ۹۹-۱۱۲.
- [۲] سیادی م، نوربهشت ا، ترابی ق، داودیان دهکردی ع، "شیمی بلورها و مقایسه ترکیب کانی شناسی سنگ‌های

یکی دیگر از مهمترین بیهنجاری منفی به عنصر Nb وابسته است. رولينسون (۱۹۹۳) اعتقاد دارد که تهی شدگی از عنصر Nb شاخص سنگ‌های قاره‌ای است و ممکن است نشان دهنده‌ی شرکت پوسته در فرایندهای ماگمای باشد [۲۴]. چاپل (۱۹۹۹) معتقد است که شاره‌ها و گدازه‌های ناشی از پوسته‌ی اقیانوسی فرورو با دگرنهادی گوهی گوشه‌های بالای خود، باعث ایجاد بیهنجاری منفی Nb می‌شوند [۲۵]. هه و همکاران (۲۰۰۷) معتقدند که تمام ماگماهای قوس از Nb تهی شدگی دارند که علت آن در ماهیت فرورانش و عدم تحرک Nb و باقی ماندن آن در صفحه‌ی فرورانده شده است به طوری که این عنصر به شاره‌های آزاد شده از صفحه وارد نمی‌شود. به نظر این پژوهشگران، غنی شدگی سنگ‌ها از Sr، Ba، Pb و Cs باقی مانده غنی شدگی سنگ‌ها از را به ماهیت فرورانش وابسته می‌دانند، و چون این عناصر از تحرک نسبتاً بالایی برخوردارند و شاره‌های مشتق شده از صفحه‌ی فرورونده غنی از این عناصر هستند [۲۶]. در کل نابهنجاری منفی عناصر Nb، P و Ti که منجر به پیدایش الگوی ضربدری در روند تغییرات عناصر کمیاب نمونه‌ها شده است، می‌تواند نشان دهنده‌ی شکل‌گیری سنگ‌ها در منطقه‌ی فرورانش باشد، زیرا در منطقه‌ی فرورانش شاره‌های آزاد شده از لیتوسفر فرورونده که از Nb فقیر و از LILE غنی‌اند در گوهی گوشه‌های افزایش می‌یابند [۲۷].

- [17] Nagudi N., Kobrel C., Kurat G., "Petrography and Geochemistry of the Singo Granite, Uganda and Implications for its Origin", Journal of African Earth Science, 36: (2003) 1-14.
- [18] Sun S.S., McDonough W.F., "Chemical and isotopic systematic of oceanic basalts: implications for mantle composition and processes. In: Saunders AD, Norry M(eds). *Magmatism in the Ocean Basins*", Geological Society of London Special Publication. 42 (1989) 313-345.
- [19] Fan W.M., Gue F., Wang Y.J., Lin G., "Late Mesozoic Calc-alkaline Volcanism of Post-orogenic Extension in the Northern Da Hinggan Mountains, Northeastern China", Journal of Volcanology and Geothermal Research, 121 (2003) 115-135.
- [20] Kamber B.S., Ewart A., Bruce M.C., Donald G.D., "Fluid mobile trace element constraints on the role of slab melting and implication of Archean crustal growth model", Contrib Mineral Petrol. 144 (2002) 38-56.
- [21] Morata D., Aguirre L., "Extensional Lower Cretaceous Volcanism in the Coastal Range(29°20'-30° S), Chile: Geochemistry and Petrogenesis", Journal of South Amer. Earth Science, 16: (2003) 459-476.
- [22] Glenn A.G., "The Influence of Melt Structure on Trace Element Partitioning Near the Peridotite Solidus", Contributions to Mineralogy and Petrology, 147: (2004) 511-527.
- [23] Green T.H., Pearson N.J., "Ti-rich Accessory Phase Saturation in Hydrous Mafic-Felsic Compositions at High P, T", Journal of Chemical Geology, 54, (1986) 185-201.
- [24] Rollinson H.R., "Using Geochemical Data: Evaluation, Presentation, Interpretation", London (Longman) (1993).
- [25] Chappell B.W., "Aluminium Saturation in I and S-type Granites and the Characterization of Fractionated Haplogranites", Lithos, 46, (1999) 535-551.
- [26] He Y., Zhao G., Sun M., Wilde S.A., "Geochemistry, Isotope Systematic and Petrogenesis of the Volcanic Rocks in the Zongtiao Mountain: An Alternative Interpretation for the Evolution of the Southern Margin of the North China Craton", Lithos, 102: (2007) 158-178.
- [27] Pearce J.A., Parkinson I.J., "Trace element models for mantle melting: application to volcanic arc petrogenesis". In: Prichard, H.M., Alabaster, T., Harris, N.B.W., Neary, C.R.(Eds.), Magmatic processes in Plate Tectonics, Vol. 76. Geology Society of London Special Publication, (1993) 373-403.
- [۳] کریم پور م.ح، ملک زاده شفارودی آ.، مظاہری س.ا.. حیدریان م.ح، "ماگماتیزم و انواع کانی سازی مس، طلا، قلع و تنگستن در بلوک لوت"، مجموعه مقالات پانزدهمین همایش انجمان بلورشناسی و کانی شناسی ایران، دانشگاه فردوسی، (۱۳۸۶).
- [۴] Stocklin J., "Structural history and tectonics of Iran", A review- Amer: Ass. Petrol. Geol. Bull.(1968) 52,7, 1229-1258.
- [۵] [امامی م.م..] "ماگماتیسم در ایران، سازمان زمین‌شناسی و اکتشافات معدنی کشور"، کتاب شماره ۷۱ (۱۳۷۹).
- [۶] [حسینی ض..] افشاریان م، چایچی ز.. "نقشه زمین‌شناسی چهارگوش شماره ۹/ ایران"، دهسلم(چاوه‌ک)، (۱۳۷۱).
- [۷] Middlemost E.A.K., "Naming materials in the magma/igneous rock system", Earth-Science Reviews 37(1994) 215-224.
- [۸] Winchester J.A., Floyd P.A., "Geochemical discrimination of different magma series and their differentiation products using immobile elements", Chem. Geol., 20 (1977) 325-343.
- [۹] Gourgaud A., Vincent P.M., "Petrology of two continental alkaline intraplate series at Emi Koussi volcano, Tibesti, Chad", J. Volcan. Geo. Res. 129, (2003) 261-272.
- [۱۰] Irvine T.N., Baragar W.R.A., "A guide to the chemical classification of the common volcanic rocks", Can. J. Earth sci., 8(1971) 523-548.
- [۱۱] Pearce J.A., Gale G.H., "Identification of ore-deposition environment from trace element geochemistry of associated igneous host rocks", Geological Society Special 7(1977) 14-24.
- [۱۲] Pearce J.A., "Source and setting of granitic rocks", Episode 19(1996).
- [۱۳] Wood D.A., "The application of a Th-Hf-Ta diagram to problems of tectono magmatic classification and to establishing the nature of crustal contamination of basaltic lavas of the British tertiary volcanic province", Earth and Plan. Sci. Lett. 50 (1980) 11-30.
- [۱۴] Boynton w.v., "Geochemistry of the rare earth elements. Meteorite studies. IN: Henderson P.(ed.)", Rare earth element geochemistry. Elsevier. (1984) 63 -114.
- [۱۵] Krauskopf K.P., Bird D.K., "Introduction to Geochemistry", Mc Graw Hill, (1976) 788P.
- [۱۶] Winter J.D., "An Introduction to Igneous and Metamorphic Petrology", Prentice Hall, (2001) 697p.